

летучих. Предпринята попытка расширения на такие системы феноменологической модели Зельдовича — Новожилова для нестационарного горения твердого топлива. Приведена система уравнений, описывающих процесс горения с подповерхностной газификацией.

#### ЛИТЕРАТУРА

1. Зарко В. Е., Зырянов В. Я., Куценогий К. П. Archivum combustionis, 1984, 4, 2.
2. Булдаков В. Ф., Романов О. Я., Шелухин Г. Г. Физика аэродисперсных систем, 1973, 8.
3. Новожилов Б. В. Нестационарное горение твердых ракетных топлив.— М.: Наука, 1973.
4. Зенин А. А. // Физические процессы при горении и взрыве.— М.: Атомиздат, 1980.

Поступила в редакцию 15/V 1988

УДК 536.46

### ПРЕДЕЛЬНЫЕ УСЛОВИЯ ГАЗОФАЗНОГО ГОРЕНИЯ ПОЛИМЕРНЫХ МАТЕРИАЛОВ ПРИ ВИБРАЦИИ

B. I. Калинкин, B. I. Потякин, A. C. Мелихов,  
Ю. С. Масловский, С. А. Пахомов  
(Балашиха)

Циклические массовые перегрузки — один из тех эксплуатационных факторов, которые с наибольшей вероятностью могут привести к появлению неисправностей в электросистемах различного назначения и к возникновению процесса горения. При вибрации перегрузки достигают нескольких десятков  $g_0$  ( $g_0 = 9,8 \text{ м/с}^2$ ), а диапазон частот обычно лежит в пределах от 1,5 до  $2 \cdot 10^3$  Гц.

В работе [1] исследовалось влияние перегрузок на предел горения по концентрации кислорода для полимерных материалов, установлено, что при  $g > 1$  его значение возрастает. Известно также, что колебания газовой среды в определенном диапазоне частот интенсифицируют процесс пламенного горения [2]. Однако влияние вибрации на горение системы твердый материал — пламя практически не изучалось. В данной работе приведены некоторые результаты, полученные при исследовании указанной проблемы.

Эксперименты проводились при атмосферном давлении и объемной концентрации кислорода от 18 до 25 %. Установка состояла из металлического сосуда ( $90 \times 90 \times 450$  мм) с окном для визуального наблюдения и специального смесительного устройства [3], посредством которого создавался направленный снизу вверх равномерный по сечению поток азотно-кислородной среды с заданной концентрацией кислорода. В центре сосуда размещается образец ( $2 \times 15 \times 80$  мм) полиметилметакрилата, жестко соединенный кронштейном с корпусом. Основание сосуда крепилось к столу вибратора с максимальной величиной вектора силы  $2 \cdot 10^3$  кг и с рабочим диапазоном частот в синусоидальном режиме от 5 до  $4 \cdot 10^3$  Гц. Колебания происходили в вертикальном направлении.

Методика проведения экспериментов состояла в следующем. Образец устанавливался в сосуде и фиксировался в вертикальном положении. Затем подавалась азотно-кислородная смесь (при этом скорость потока в сосуде составляла  $\sim 0,08$  м/с) и образец зажигался сверху электротриптической спиралью. После начала устойчивого горения включался вибратор. При заданной частоте устанавливалась некоторая начальная амплитуда колебаний  $A$ . Если заметных изменений пламени не наблюдалось, то плавно увеличивалась амплитуда колебаний до значений, при которых процесс горения прекращается.

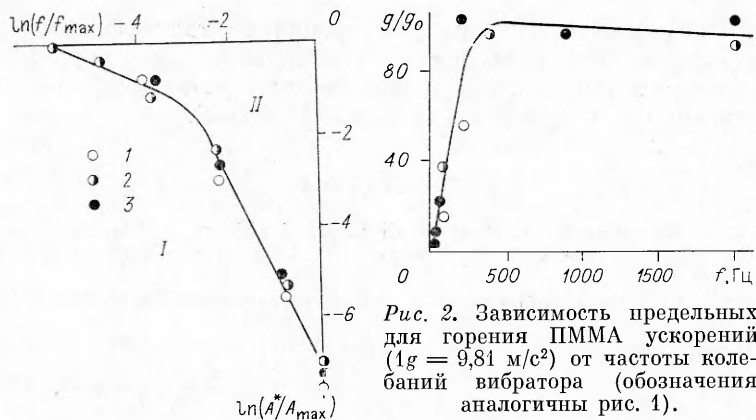


Рис. 2. Зависимость предельных для горения ПММА ускорений ( $1g = 9,81 \text{ м/с}^2$ ) от частоты колебаний вибратора (обозначения аналогичны рис. 1).

Рис. 1. Зависимость предельной для горения ПММА амплитуды колебаний от частоты;  $A_{\max} = 7 \text{ мм}$ ,  $f_{\max} = 2 \cdot 10^3 \text{ Гц}$ ,  $A^*$  — предельное значение амплитуды, при которой горение прекращается.

[O], %: 1 — 18, 2 — 21, 3 — 25.

Частота вибрации  $f$  устанавливалась дискретно: 5, 10, 15, 200, 800, 2000 Гц. Максимальное значение амплитуды  $A_{\max}$  ограничивалось величиной перегрузок, допускаемых вибростендом, которое составляло  $\sim 100 g$ .

На рис. 1 приведена зависимость предельных условий горения образца от параметров вибрации. Видно, что с возрастанием частоты колебаний значения  $A^*$  уменьшаются, при этом концентрация кислорода в исследуемом диапазоне не оказывала заметного влияния на предельные условия горения. График приведенной зависимости образует область под кривой, где горение имеет место (I), и над кривой, где горение невозможно (II). Имеющийся перегиб обусловлен различием механизмов, создающих предельные для горения условия.

При визуальном наблюдении за горением, протекающим под влиянием вибрации, отмечено следующее. В области частот до  $f \approx 200 \text{ Гц}$  и относительно больших значений  $A$  потуханию пламени предшествовало хаотическое изменение его формы, расширение и снижение яркости свечения. Высокотемпературная зона химической реакции становилась размытой. Образец в процессе колебаний проникал в зону пламени. По-видимому, в этой области частот потухание происходило за счет возрастания тепловых потерь из зоны реакции, обусловленных нарушением концентрационной структуры пламени, которое синхронно не отслеживает колебания образца, проникновением твердой фазы с прилегающим холодным пограничным слоем в зону реакции, а также увеличением луцистых потерь.

При  $f > 200 \text{ Гц}$  характер горения в области предельных режимов существенно отличался. Плавное увеличение амплитуды колебаний горящего образца до предельных значений приводило к резкому уменьшению высоты пламени. При этом оно приближалось к поверхности горения, сильно уменьшалось в размерах и затем потухало. В данной области предельный режим горения образца, вероятно, достигался в результате увеличения действия циклических перегрузок, тормозящих вылет продуктов газификации топлива и отвод продуктов горения, что, в частности, подтверждается данными, представленными на рис. 2. Из графика следует, что предельная величина перегрузок в достаточно широком диапазоне частот практически не меняется. Это подтверждает предположение о том, что, начиная с некоторых значений, перегрузки уменьшают среднюю скорость движения продуктов газификации полимера в зону реакции. В результате пламя, уменьшаясь в размерах, быстро приближается к поверхности образца, возрастают потери в конденсированную фазу и процесс горения прекращается [4].

Таким образом, можно заключить, что вибрация при определенных соотношениях частоты и амплитуды колебаний может быть фактором, подавляющим процесс газофазного горения полимерных материалов. Следует также отметить, что необходимы дополнительные исследования для детального изучения причин, вызывающих предельные явления при горении. С этой целью предполагается провести эксперименты по определению особенностей взаимодействия пламени (при неподвижном образце) с гармоническими колебаниями окружающей газовой среды.

#### ЛИТЕРАТУРА

1. Марголин А. Д., Крупкин В. Г. Докл. АН СССР, 1981, 257, 6.
2. Раушенбах Б. В. Вибрационное горение.— М.: Физматгиз, 1961.
3. Болдьян И. А., Мелихов А. С., Третьяков В. А. // Пожарная профилактика.— М.: ВНИИПО, 1979.— Вып. 13.
4. Рыбанин С. С., Соболев С. Л. ФГВ, 1983, 19, 4.

Поступила в редакцию 15/VI 1987,  
после доработки — 15/IX 1987

УДК 614.841.41

### ЭКСПЕРИМЕНТАЛЬНОЕ ОПРЕДЕЛЕНИЕ МАССОВОЙ СКОРОСТИ ВЫГОРАНИЯ ТВЕРДЫХ МАТЕРИАЛОВ

И. С. Молчадский, Н. К. Гриневицкий, Б. С. Лимонов,  
В. С. Махин, А. Д. Голиков, В. М. Макаров,  
А. Н. Бородин  
(Москва)

Массовая скорость выгорания материалов — важнейшая количественная характеристика горения, в значительной степени определяющая изменение теплотехнических параметров пожара, его интенсивность и др. Известно, что массовая скорость выгорания материалов не является физико-химической константой, поэтому при использовании литературных данных для практических целей следует учитывать условия, в которых она определена, и в необходимых случаях вносить соответствующие поправки.

Анализ существующих методов определения скорости выгорания твердых материалов [1—4] показывает, что испытание материалов, как правило, проводится при их расположении в виде штабеля. Кроме того, не всегда обоснованы условия проведения экспериментов (характеристики штабеля, размер проемов, расход воздуха и др. параметры). Например, данные для одного материала (древесины) отличаются более чем в 5 раз [1—4]. Для твердых веществ и материалов существуют два понятия массовой скорости выгорания  $M$ : действительная, отнесенная к полной поверхности горения, и приведенная, отнесенная к площади пожара. Первая более точно характеризует способность материала к горению, но ее трудно определить из-за сложности точного учета фактической поверхности горения. На практике широко используется приведенная скорость выгорания, которая наиболее достоверно в настоящее время определяется экспериментально на крупномасштабных установках типа камера — весы [4].

В работе [5] приведены результаты крупномасштабных исследований, позволяющие прогнозировать изменение скорости выгорания древесины на реальных пожарах. Несмотря на достоверность данных [5], следует обратить внимание на большую трудоемкость проведения экспериментов и их высокую стоимость. А имея в виду большое разнообразие встречающихся в практике сгораемых материалов, следует признать нецелесообразность использования изложенного метода (крупномасштаб-